

سنتز کوپلیمر وینیل استات - اتیلن به روش پلیمرشدن

امولسیونی ناپیوسته :

۳- بررسی اثر افزایش حجم راکتور و مقایسه گرمادهی واکنش

Synthesis of Vinyl Acetate-ethylene Copolymer Through Batch Emulsion Polymerization (Part III): Effect of Scale up and Heat Generation Comparison

حمدی صالحی مبارکه^{*}، محمدرضا رستمی درونکلا، بابک اسماعیلی پور

تهران، پژوهشگاه پلیمر و پتروشیمی ایران، پژوهشکده علوم، گروه علوم و کatalیست، صندوق پستی ۱۴۹۶۵/۱۱۵

دريافت: ۸۲/۱۰/۲۴، پذيرش: ۸۳/۲/۱۵

چکیده

پلیمرشدن امولسیونی گاز - مایع در مقایسه با پلیمرشدن امولسیونی رایج دارای پیچیدگی‌هایی است که ناشی از وجود مونومر گازی است. یکی از مسائل مهم انتقال جرم در این سیستمها، ورود مونومر گازی اتیلن به مواضع واکنش است که در خلال واکنش تغییر می‌کند و وابسته به متغیرهای زیادی است. در بررسی افزایش حجم راکتور مسائلی چون نسبت ارتقاء به قطر راکتور، دور همنز، روش تزریق مونومر گازی و مقدار مواد اولیه اهمیت دارد. با بزرگ شدن حجم راکتور از $1/8$ به $1/5$ مقدار مواد اولیه افزایش می‌یابد. اما، به دلیل عدم تناسب نسبت ارتقاء به قطر راکتور در افزایش حجم آن و کاهش انتقال جرم مونومر گازی اتیلن، روند تغییرات درصد آن در کوپلیمر برای پلیمرشدن در راکتورهای $1/8$ با $1/5$ متفاوت است و این روند برای درصد تبدیل مونومر وینیل استات با زمان در هر دو حجم راکتور تقریباً مشابه است که در راکتور $1/8$ به مقداری بیشتری می‌رسد. در بررسی مقادیر گرمادهی به شکل تفاضلی و انتگرالی مشاهده شد که بسته به سرعت مصرف مونومرهای اتیلن و وینیل استات، گرمادهی مقدار متفاوتی دارد.

واژه‌های کلیدی

پلیمر شدن امولسیونی ناپیوسته،
وینیل استات - اتیلن، اثر حجم راکتور،
درصد تبدیل اتیلن، درصد تبدیل

مقدمه

امولسیون کتنده‌ها و مخلوط آنها بر خواص رسانایی، تنش سطحی، گرانزوی و اغتشاش فاز آبی اثر دارد [۱].

اخیراً اثر پایدارکتنده‌های مختلف بر پایداری لاتکس‌های وینیل استات - اتیلن و خواص فیلمهای حاصل [۲] و نیز در سیستمی پیوسته [۳]

پلیمرشدن امولسیونی بسته به شرایط واکنش و مواد اولیه می‌تواند به شکل درشت امولسیونی، ریز امولسیونی، مینی امولسیونی و امولسیونی

معکوس و نیز هسته - لایه انجام شود [۴]. هر یک از اجزا بر سیستم پلیمرشدن امولسیونی اثر متفاوتی دارند. بطور مثال، انواع

Key Words

batch emulsion polymerization,
vinyl acetate-ethylene, scale up
effect, ethylene content, conversion

* مسئول مکاتبات، پیام نگار: H.Salehi@ippi.ac.ir

درصد در کپسولی تحت فشار ۱۰۰ bar، آغازگر آمونیوم پرسولفات ساخت شرکت مرک، پلی وینیل الکل با درجه هیدرولیز ۸۸ درصد و $M_w = 85000 - 146000$ به عنوان کلوئید محافظ، امولسیون کننده سدیم لوریل سولفات و سدیم استات به عنوان بافر ساخت شرکت آلدريچ و کمک حلال نرمال هگزان ساخت شرکت ریدل دهان با خلوص ۹۵ درصد، مورد استفاده قرار گرفته‌اند. مقادیر وزنی مواد اولیه مصرفی در راکتور L ۷/۵ برابر مقادیر بکار رفته در راکتور L ۱/۸ در نظر گرفته شده است.

دستگاهها

در این پژوهش، از راکتور تحت فشار پار (parr)، طیف سنج رزونانس مغناطیسی هسته ژول مدل FT-۹۰MHz و دستگاه DSC پلیمر لاب ساخت انگلستان برای تعیین دمای انتقال شیشه‌ای کوپلیمر حاصل استفاده شده است.

روشها تهیه کوپلیمر

واکنش کوپلیمرشدن وینیل استات - اتیلن در راکتورهای زیر فشار با حجم‌های ۱/۸ و L ۷/۵ مجهز به همزن دو پروانه‌ای انجام شده است. لوله‌ای باریک برای تزریق گاز اتیلن به داخل راکتور زیر سطح مایع تعییه شده است. شرح کامل دستگاه در مرجع [۱۱] آمده است. ترتیب ورود مواد به داخل راکتور به این قرار است: ابتدا محلول امولسیون کننده و کلوئید محافظ در آب یون زدوده مقطور تهیه و به راکتور منتقل می‌گردد. سپس، مونومر وینیل استات به راکتور اضافه و مخلوط یاد شده حدود ۷۵h آبزد می‌شود. پس از آن به فاصله زمانی ۱۰ min کمک حلال و راکتور اضافه می‌گردد. جریان آرامی از نیتروژن به مدت حدود ۵ min برای اکسیژن‌زدایی سیستم برقرار می‌شود. در نهایت، شیرهای راکتور بسته و پس از اطمینان از عدم وجود نشتی، فشار موردنظر به کمک گاز اتیلن اعمال می‌شود که این فشار تا پایان واکنش ثابت می‌ماند. نقطه شروع پلیمرشدن، زمان رسیدن مخلوط واکنش به دمای مورد نظر است.

تجزیه نمونه‌ها

برای تعیین درصد جامد از روش تجزیه وزنی استفاده شده است [۱۰]. پس از انجام مراحل خالص سازی با روش حلال (تراهیدروفوران) و غیرحلال (آب) در دمای محیط و تکرار آن، نمونه‌های نهایی در آون خلاء در دمای ۴۰°C به مدت ۲۴ h خشک شدند. از روش طیف‌سنجی

واکنش کوپلیمر شدن وینیل استات - اتیلن بررسی شده است. کوپلیمرهای وینیل استات - اتیلن کاربرد وسیعی در صنعت چسب و پوشش دارند که بسته به نوع فرایند تهیه، درصد ترکیب اجزا متفاوت است [۵].

اسکات و همکاران انواع پارامترهای مؤثر از جمله دما، نوع آغازگر، فشار، دور همزن، امولسیون کننده، کمک حلال رابررسی و سایر شرایط و اثر آنها بر درصد ترکیب کوپلیمر نهایی، درصد تبدیل مونومر وینیل استات، توزیع و اندازه ذرات و وزن مولکولی و دمای انتقال شیشه‌ای را در سیستم نیمه پیوسته مطالعه کرده‌اند [۵-۸].

در بررسیهای اخیر نیز در مورد اثر فشار، بافر و امولسیون کننده بر ترکیب درصد کوپلیمر نهایی و درصد تبدیل مونومر وینیل استات در سیستم نایپوسته مطالبی آمده است [۹،۱۰].

در واکنش انجام شده در راکتور L ۱/۸ از آنجا که انحلال پذیری اتیلن در محیط واکنش قابل توجه نیست، مقدار اتیلن مورد نیاز در محاسبه مقدار تبدیل مونومر وینیل استات لحاظ نمی‌شود. اما در پلیمرشدن در راکتور L ۷/۵ لازم است که سهم مربوط به انحلال پذیری مونومر گازی اتیلن طی واکنش و اثر آن بر درصد تبدیل مونومر وینیل استات لحاظ شود.

در این پژوهش، با افزایش حجم راکتور از ۱/۸ به L ۷/۵ غلظت مواد اولیه حدود ۴/۲ برابر شده و واکنش در راکتور L ۷/۵ مشابه شرایط واکنش در راکتور L ۱/۸ تکرار شد.

اتیلن در کل واکنش شامل اتیلن موجود در کوپلیمر نهایی، اتیلن محلول در محیط واکنش و اتیلن موجود در فضای راکتور که در طول واکنش تقریباً مقدار ثابتی دارد. مقدار اتیلن موجود در کمک حلال نرمال هگزان ثابت می‌ماند و در مونومر وینیل استات با مصرف شدن و درنتیجه کاهش غلظت آن با گذشت زمان واکنش مقدار اتیلن محلول کاهش می‌یابد. مقدار اتیلن موجود در کوپلیمر با روند افزایشی و اتیلن محلول در محیط واکنش با روند کاهشی تغییر می‌یابد. برای محاسبه درصد تبدیل مونومر وینیل استات، مقدار وزنی کل مواد اولیه با مقدار وزنی اتیلن موجود در کوپلیمر نهایی جمع می‌شود.

تجربی

مواد

آب یون زدوده مقطور به عنوان فاز آبی، مونومر وینیل استات تولید شده در پتروشیمی اراك با خلوص ۹۹ درصد، مونومر اتیلن با خلوص ۹۹/۹۶

جدول ۱- جابه جایی شیمیایی پروتونهای کوپلیمر VAE.

جابه جایی شیمیایی (ppm)	پروتون
۷/۱	-CH ₂ -
۱/۱۸	-CH ₂ -(E-E)
۱/۴۲	-CH ₂ -(E-VA)
۱/۹	-CH ₃
۵	-O-C-H

سطح زیر منحنی پروتونهای دیگر است.
نمونه‌ای از محاسبات مربوط به تعیین درصد وزنی وینیل استات و اتیلن (%Et) در کوپلیمر با توجه به داده‌های مربوط به طیف ¹H NMR در زیر آرائه شده است:

$$S_1 = ۶/۰۷۷, S_2 = ۱۷/۴۶۹ + ۸/۴۹۴ + ۴/۵۷ + ۳/۵۹۹ = ۳۴/۳۱۲$$

$$\%W_{cop} = (۶/۰۷۷) / [(۶/۰۷۷) + (۳۴/۳۱۲ - ۵ \times ۶/۰۷۷) / ۴] \times 100 = ۸۶/۶۵$$

$$\%Et = 1 - \%W_{cop} = ۱۳/۳۵$$

محاسبه مقدار اتیلن موجود در کوپلیمر

با استفاده از نتایج حاصل از طیف ¹H NMR و محاسبات لازم [۱۱] و مقادیر تجزیه وزنی برای هر نمونه، می‌توان روند تغییرات مقدار اتیلن موجود در کوپلیمر را برای تمام نقاط محاسبه کرد که برای نمونه نهایی از واکنش VAE به ترتیب زیر محاسبه شده است. برای درصد جامد اتیلن در کوپلیمر داریم:

$$E_s = E / (E + I) \quad (۲)$$

در این معادله E_s درصد جامد اتیلن در کوپلیمر، I وزن کل مواد اولیه بدون مقدار اتیلن و E مقدار وزنی اتیلن در کوپلیمر است.
درصد جامد نمونه ۳۹/۶۴ و درصد اتیلن در کوپلیمر ۱۴ است، بنابراین:

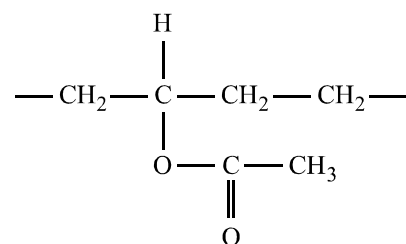
$$E_s = ۳۹/۶۴ \times ۰/۱۴ = ۵/۵۴۹۶$$

در واکنش VAE مقدار مواد اولیه بدون مقدار اتیلن ۲۴۰.۴/۳۷ g است، بنابراین از معادله ۲ داریم:

$$۵/۵۴۹۶ = E / (E + ۲۴۰.۴/۳۷)$$

¹H NMR و داده‌های حاصل از روش تجزیه وزنی مقادیر درصد تبدیل وینیل استات و ترکیب درصد کوپلیمر محاسبه شده است [۱۰]. برای تعیین ترکیب کوپلیمر، مقدار درصد اتیلن از روی داده‌های حاصل از طیفهای ¹H NMR و روابط موجود بdst است آمده است [۱۱]. دمای انتقال شیشه‌ای (T_g) با استفاده از دستگاه DSC معین شده است [۱۱].

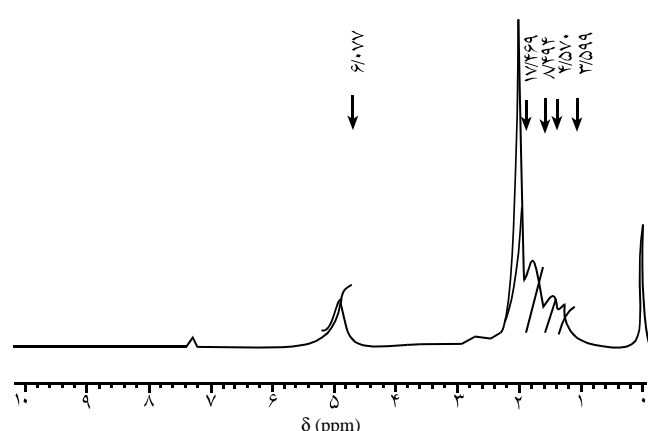
محاسبه درصد اتیلن در کوپلیمر با استفاده از طیف سنجی ¹H NMR شکل ۱ طیف ¹H NMR نمونه‌ای از کوپلیمرهای بدست آمده را نشان می‌دهد [۱۱]. نواحی مختلف طیف با توجه به ساختار کوپلیمر در جدول ۱ مشخص شده است. این ساختار به شکل زیر است:



در ضمن، پیک مشاهده شده در ناحیه حدود ۷/۲ ppm مربوط به حلal کلروفرم بوده که در تمام طیفها یکنواخت است. با استفاده از سطح زیر منحنی و معادله ۱ می‌توان درصد وینیل استات (W_{cop}) را در کوپلیمر بدست آورد [۱۰]:

$$\%W_{cop} = \frac{\frac{S_1}{S_2}}{\frac{(S_2 - ۵S_1)}{4}} \quad (۱)$$

که در آن S_1 سطح زیر منحنی مربوط به H-C-O- و S_2 مجموع



شکل ۱- طیف ¹H NMR نمونه‌ای از کوپلیمر وینیل استات - اتیلن.

مقادیر آنها $86/09$ و $28/05$ g/mol و W_{VA} و W_{Et} به ترتیب درصد وزنی اتیلن و درصد وزنی مونومر وینیل استات در کوپلیمر است. W_{VA} و VA_{feed} به ترتیب مقدار تبدیل مونومر وینیل استات، Con_{VA} درصد وزنی مونومر وینیل استات در خوراک و کل وزن مواد اولیه است. برای محاسبه معادله بالا داریم:

$$\Delta H_t = \Delta H_{t,Et} + \Delta H_{t,VA} = \Delta H_{VA} \times M_{VA,C} + \Delta H_{Et} \times M_{Et,C} \quad (5)$$

در این معادله $\Delta H_{t,Et}$ گرمای مولی ناشی از مشارکت اتیلن در کوپلیمر شدن، $H_{t,VA}$ گرمای مولی ناشی از مشارکت وینیل استات در کوپلیمر شدن، $M_{VA,C}$ جرم وینیل استات مصرف شده، $M_{Et,C}$ جرم اتیلن مصرف شده، $VA_{feed} \times W_{tot}$ کل مونومر وینیل استات در خوراک و $Con_{VA} \times W_{tot} \times VA_{feed}$ مونومر وینیل استات مصرف شده یا موجود در کوپلیمر است.

$$\Delta H_t = \frac{\Delta H_{VA}}{M_{VA}} \times M_{VA,C} + \frac{\Delta H_{Et}}{M_{Et}} \times M_{Et,C} \quad (6)$$

آمدن M_{VA} و M_{Et} برای حذف واحد کیلوژول بر مول در ΔH_{VA} و تبدیل آن به کیلوژول بر گرم است.

$$\Delta H_t = \left(\frac{\Delta H_{VA}}{M_{VA}} + \frac{\Delta H_{Et}}{M_{Et}} \times \frac{M_{Et,C}}{M_{VA,C}} \right) M_{VA,C}$$

حال اگر مقدارهای وزنی وینیل استات و اتیلن مصرف شده یا موجود در کوپلیمر تبدیل به درصد وزنی شود.

$$\% W_{Et} = \frac{M_{Et,C}}{M_{Et,C} + M_{VA,C}} \times 100 \quad (7)$$

$$\% W_{VA} = \frac{M_{VA,C}}{M_{VA,C} + M_{Et,C}} \times 100 \quad (8)$$

آمدن 10^4 در معادله به دلیل آمدن دادههای VA_{feed} و Con_{VA} به شکل درصد است.

$$\Delta H_t = \left(\frac{\Delta H_{VA}}{M_{VA}} + \frac{\Delta H_{Et}}{M_{Et}} \times \frac{\% W_{Et}}{\% W_{VA}} \right) \times \frac{VA_{feed} \times W_{tot}}{10^4} \times Con_{VA}$$

اگر گرمایی حاصل در هر مقطع از مقدار بعدی کم شود، مقادیر

$$E = 14727 \text{ g}$$

که این مقدار وزنی اتیلن در نمونه نهایی کوپلیمر VAE است. با بدست آمدن مقدار وزنی اتیلن در نمونه نهایی داریم:

$$W_R = 2404/37 + 141/27 = 2545/64 \text{ g}$$

که در اینجا W_R کل مواد اولیه با مقدار اتیلن است. از این مقدار برای محاسبه درصد تبدیل مونومر وینیل استات ($\% VA_{con}$) برای نمونه نهایی در واکنش VAE استفاده می‌شود [11]:

$$\% VA_{con} = \frac{W_R \times W_{cop}}{W_{(t)VA}} \times S(t) \times 100 \quad (3)$$

$$\% VA_{con} = (2545/64 \times 100 \times 0/86 \times 0/3964 \times 100) / 958/3 = \% 90/6$$

در این معادله $S(t)VA$ و W_{cop} به ترتیب درصد جامد و درصد وینیل استات در کوپلیمر و مقدار وزنی اولیه مونومر وینیل استات است. بدین ترتیب درصد تبدیل مونومر وینیل استات در واکنش VAE برای تمام نقاط مقدار وزنی اتیلن موجود در کوپلیمر در نظر گرفته می‌شود. مقدار گرمای تولید شده در پلیمرشدن امولسیونی وینیل استات - اتیلن وابسته به سرعت مصرف مونومر وینیل استات و درصد اتیلن در کوپلیمر نهایی است.

در این بررسی میزان گرمادهی پلیمرشدن امولسیونی وینیل استات - اتیلن در دو راکتور با حجمهای متفاوت مورد مطالعه قرار گرفته است که پس از بهینه کردن شرایط اولیه واکشن در راکتور L [11] همان واکشن در راکتور L $7/5$ تکرار شده است.

در طول واکشن پلیمرشدن میزان تغییرات گرمادهی با زمان به کمک معادله ۳ برای سیستم یاد شده محاسبه شد [12, 13] که پارامترهای موجود در این معادله به شکل زیر است:

$$\Delta H_t = \left(\frac{\Delta H_{VA}}{M_{VA}} + \frac{\Delta H_{Et}}{M_{Et}} \times \frac{\% W_{Et}}{\% W_{VA}} \right) \times Con_{VA} \times \frac{VA_{feed} \times W_{tot}}{10^4} \quad (4)$$

ΔH_{Et} و ΔH_{VA} به ترتیب گرمای پلیمرشدن مونومرهای وینیل استات و اتیلن با مقادیر $87/86$ و $106/27$ kJ/mol است. M_{Et} و M_{VA} نیز به ترتیب وزنهای مولکولی مونومرهای وینیل استات و اتیلن است که

جدول ۲- مشخصات آزمایش‌های انجام شده.

آزمایش	دما (°C)	حجم راکتور (L)	درصد وزنی وینیل استات در خوراک
VAE1	۵۰	۷/۸	۴۰
VAE6	۵۵	۷/۵	۴۰

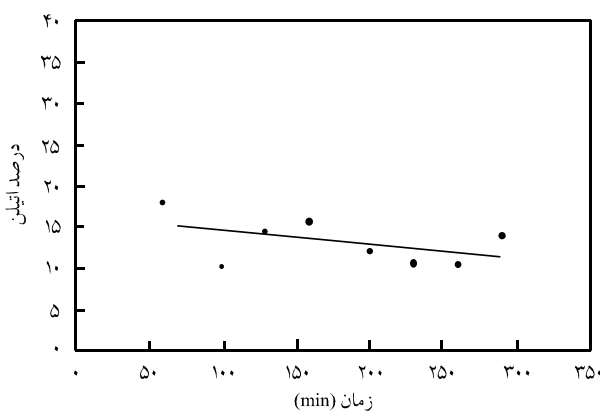
مونومر وینیل استات اولیه انجام شده است. همچنین، غلظت کمک حلال ۵ درصد وزنی کل مواد اولیه، سرعت همزن 300 rpm و نسبت سدیم لوریل سولفات به پلی وینیل الكل ۲ بوده است.

واکنش VAE6

در این مرحله، شرایط واکنش VAE1 در راکتور L ۷/۸ تکرار شده و غلظت مواد اولیه در راکتور L ۷/۵ به مقدار ۴/۲ برابر افزایش داده شد. سرعت همزن 300 rpm ، فشار atm ۲۳ و غلظت آغازگر ۰/۵ درصد وزنی نسبت به غلظت اولیه مونومر وینیل استات تعیین شده و دمای واکنش از 50°C در واکنش VAE1 به 55°C افزایش داده شد. در جدول ۳ نتایج سیتیکی حاصل از واکنش VAE6 بر حسب زمان واکنش در راکتور L ۷/۵ آمده است.

در شکل ۲ تغییرات درصد اتیلن در کوپلیمر بر حسب زمان واکنش آمده است و همان طور که ملاحظه می‌شود در لحظات اولیه واکنش، از آنجا که مونومر وینیل استات هنوز به مقدار زیاد مصرف نشده و نسبت فعالیت برای دو مونومر اتیلن و وینیل استات حدود ۱ است [۱۴]، اتیلن فرصت کافی برای واکنش دادن پیدا کرده و درصد اتیلن در کوپلیمر افزایش می‌یابد. سپس، با پیشرفت واکنش با توجه به سرعت مصرف مونومر وینیل استات درصد اتیلن در کوپلیمر تغییر می‌کند و درمجموع روندی کاهشی برای آن در کوپلیمر مشاهده می‌شود.

در شکل ۳ تغییرات درصد اتیلن و درصد تبدیل مونومر وینیل استات برای واکنش VAE ۶ در راکتور L ۷/۵ آمده است. با توجه به شکل، در ابتدای واکنش به علت کم بودن سرعت مصرف مونومر وینیل استات و درنتیجه افزایش مشارکت مونومر گازی اتیلن، درصد اتیلن در کوپلیمر تا 60 min از شروع واکنش حدود ۱۸ درصد است. پس از آن، با افزایش سرعت مصرف مونومر وینیل استات مشارکت مونومر گازی اتیلن کاهش و از آن مقطع به بعد با توجه به سرعت مصرف مونومر



شکل ۲- تغییرات درصد اتیلن در کوپلیمر برای واکنش VAE6.

تفاضلی و اگر مقدار گرما در هر مقطع نسبت به مقطع شروع واکنش باشد، جوابها انگرالی است. برای نمونه نهایی از واکنش انجام شده در راکتور L ۷/۸، مقدار اتیلن در کوپلیمر ۱۹/۸ درصد و وینیل استات در کوپلیمر ۸۰/۲ درصد است. همچنین، مقدار تبدیل مونومر وینیل استات ۷۷/۹ درصد است، بنابراین داریم:

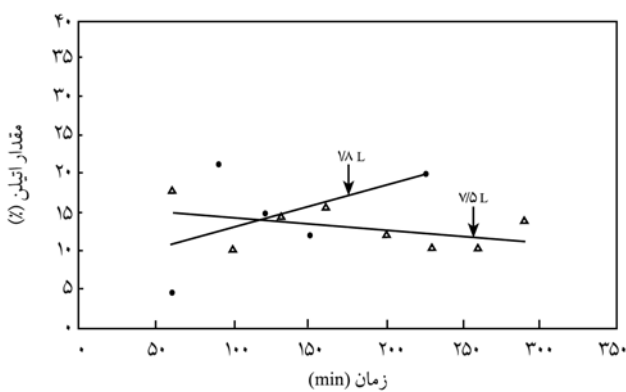
$$\Delta H_t = \left(\frac{87/86}{86/09} + \frac{106/27}{28/05} \times \frac{19/8}{80/2} \right) \times \frac{36 \times 640}{14} \times 77/9 = 350/8 \text{ KJ}$$

نتایج و بحث

در واکنش کوپلیمر شدن امولسیونی وینیل استات - اتیلن پارامترهای زیادی اثر دارند. در این بررسی حجم راکتور پلیمر شدن امولسیونی از ۷/۸ L و مقدار مواد اولیه ۴/۲ برابر واکنش VAE1 افزایش یافته است. همچنین، در فشار ثابت atm ۲۳، واکنش در دمای حدود 50°C بیش از واکنش VAE1 انجام شده است. جدول ۲ آزمایش‌های انجام شده و شرایط موجود را نشان می‌دهد. این آزمایشها با آغازگر به غلظت ۰/۵ درصد وزنی و غلظت امولسیون کننده ۰/۷۵ درصد وزنی نسبت به

جدول ۳- نتایج سیتیکی واکنش VAE6 بر حسب زمان واکنش.

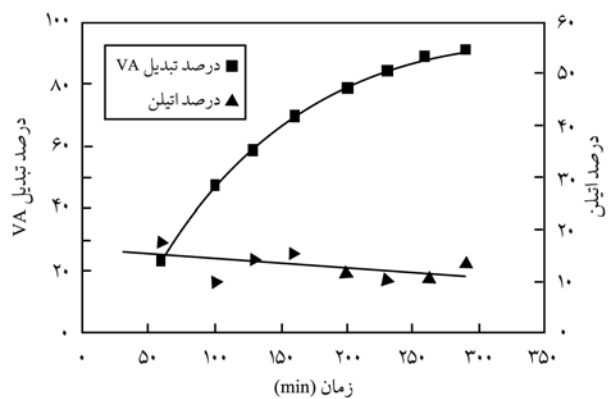
زمان واکنش (min)	درصد تبدیل وینیل استات	درصد اتیلن
۶۰	۲۳/۳	۱۸
۱۰۰	۴۷/۶	۱۰/۳
۱۳۰	۵۸/۶	۱۴/۵
۱۶۰	۶۹/۳	۱۵/۶
۲۰۰	۷۸/۵	۱۲/۱
۲۳۰	۸۳/۲	۱۰/۵
۲۶۰	۸۸/۷	۱۰/۴
۲۹۰	۹۰/۵	۱۴



شکل ۵ - تغییرات درصد اتیلن در کوپلیمر بر حسب زمان واکنش برای واکنشهای VAE6 در راکتور $L\frac{7}{5}$ و VAE1 در راکتور $L\frac{7}{8}$.

روند تغییرات درصد اتیلن در کوپلیمر و درصد تبدیل مونومر وینیل استات با زمان واکنش بررسی شده است. در شکلهای ۴ و ۵ به ترتیب تغییرات درصد تبدیل مونومر وینیل استات و درصد اتیلن در کوپلیمر برای دو واکنش VAE6 در راکتور $L\frac{7}{5}$ و VAE1 در راکتور $L\frac{7}{8}$ آمده است. همان طور که از شکل ۴ مشخص است تغییرات درصد تبدیل مونومر وینیل استات برای هر دو واکنش بسیار به هم نزدیک است. درصد تبدیل مونومر وینیل استات در واکنش VAE6 در مقادیر حدود ۹۰ درصد و در واکنش VAE1 حدود ۸۰ درصد به مقدار ثابتی می‌رسد ولی دلیل این موضوع کاهش سطح تماس میان فاز مایع و گاز در حین افزایش حجم راکتور با توجه به وزن مواد اولیه و قطر راکتور است که درنتیجه کاهش انتقال جرم مونومر گازی اتیلن است (نسبت ارتفاع به قطر راکتور با افزایش حجم راکتور زیاد می‌شود). این پدیده باعث کاهش حضور مونومر اتیلن در موضع واکنش و افزایش سرعت مصرف مونومر وینیل استات می‌شود.

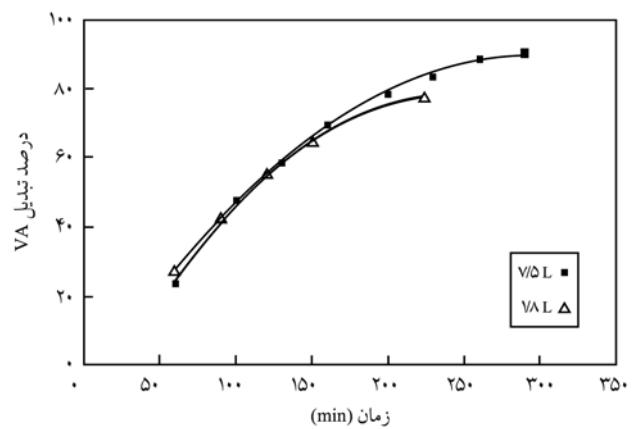
در شکل ۵ مشاهده می‌شود که تغییرات درصد اتیلن در نمونه‌های کوپلیمر برای واکنش VAE1 در راکتور $L\frac{7}{8}$ قابل ملاحظه است و برای واکنش VAE6 در راکتور $L\frac{7}{5}$ از نوسان کمتری برخوردار است. از مجموع مشاهدات وینیل استات و درصد اتیلن برای این دو واکنش می‌توان این چنین نتیجه‌گیری کرد که با افزایش حجم راکتور روند تغییرات درصد تبدیل مونومر وینیل استات تغییر زیادی نمی‌کند و تقریباً با حالت قبلی مشابه است و به مقادیر بیشتری می‌رسد. اما، درصد اتیلن در کوپلیمر در طول واکنش در راکتور $L\frac{7}{5}$ یکنواخت‌تر و مقدار نهایی کمتری در مقایسه با مقدار آن در نمونه نهایی حاصل از راکتور $L\frac{7}{8}$ دارد. بنابراین، کوپلیمر حاصل از واکنش در راکتور $L\frac{7}{5}$ ترکیب درصد یکنواخت‌تری نسبت به کوپلیمر حاصل در واکنش $L\frac{7}{8}$ دارد.



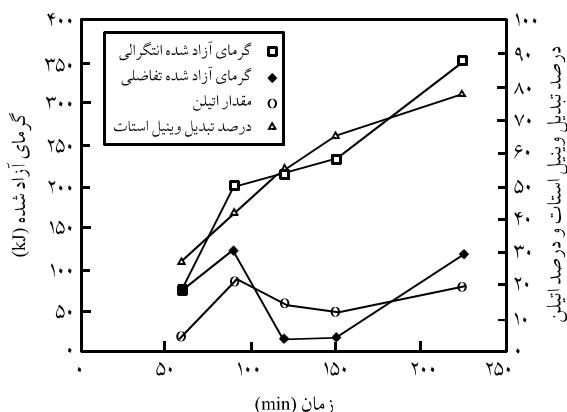
شکل ۳ - تغییرات درصد اتیلن و درصد تبدیل مونومر VA بر حسب زمان واکنش برای واکنش VAE6.

وینیل استات، درصد اتیلن در کوپلیمر تغییر می‌کند. بدین ترتیب، با افزایش مصرف مونومر وینیل استات مشارکت مونومر گازی اتیلن در کوپلیمر شدن کاهش و بر عکس با کاهش سرعت مصرف مونومر وینیل استات مشارکت مونومر گازی اتیلن افزایش می‌یابد و در مواردی نیز این دو مونومر بطور یکنواخت در واکنش کوپلیمر شدن شرکت می‌کنند. تغییرات درصد تبدیل مونومر وینیل استات روندی افزایشی و یکنواخت است و پس از زمان حدود ۲۵۰ min از شروع واکنش تقریباً به مقدار ثابت می‌رسد. این مشارکت یکنواخت مونومر وینیل استات و اتیلن موجب ایجاد کوپلیمری با ترکیب درصد یکنواخت می‌شود.

اثر افزایش حجم راکتور
در مقایسه میان واکنش VAE1 و VAE6 اثر افزایش حجم راکتور بر



شکل ۴ - تغییرات درصد تبدیل مونومر VA بر حسب زمان واکنش برای واکنشهای VAE6 در دو راکتور مختلف.



شکل ۶- تغییرات سینتیکی میزان گرمادهی با درصد تبدیل VA و درصد اتیلن در کوپلیمر بر حسب زمان برای واکنش پلیمرشدن امولسیونی VAE در راکتور L ۷/۸.

شده است. در این جدول داده‌های مربوط به میزان گرمادهی به دو شکل انتگرالی و تفاضلی آمده است.

شکل ۶ تغییرات گرمادهی را به دو شکل تفاضلی و انتگرالی با زمان واکنش برای کوپلیمرشدن در راکتور L ۷/۸ با توجه به تغییرات درصد اتیلن در کوپلیمر و سرعت تبدیل مونومر وینیل استات نشان می‌دهد.

همان طور که مشاهده می‌شود، در مقاطع اولیه واکنش که مونومر وینیل استات و مونومر اتیلن بخوبی مصرف می‌شوند مقادیر گرمادهی تفاضلی بشدت افزایش می‌یابد. این امر در مقطع نهایی واکنش نیز مشهود است. در مقطع نهایی واکنش به علت کم بودن سرعت مصرف مونومر وینیل استات و افزایش مشارکت مونومر گازی اتیلن، مونومر اتیلن مشارکت بیشتری در گرمادهی سیستم پلیمرشدن دارد.

در دو مقطع میانی نیز افزایش درصد تبدیل مونومر وینیل استات باعث کاهش مشارکت مونومر گازی اتیلن در کوپلیمرشدن شده و درنتیجه موجب کاهش درصد اتیلن در کوپلیمر می‌شود. از این رو، مقادیر گرمادهی تفاضلی در سیستم پلیمرشدن در این دو مقطع کاهش می‌یابد. همان طور که مشاهده می‌شود تغییرات گرمادهی انتگرالی در سیستم پلیمرشدن به شکلی است که در دو مقطع اول و آخر نسبت به دو مقطع میانی این تغییرات از شیب بیشتری برخوردار است که نشان دهنده سرعت زیاد گرمادهی در این دو مرحله است.

در جدول ۶ داده‌های مربوط به تغییرات درصد تبدیل مونومر وینیل استات و درصد اتیلن در کوپلیمر و میزان گرمادهی انتگرالی و تفاضلی سیستم پلیمرشدن در راکتور L ۷/۵ آمده است.

شکل ۷ تغییرات گرمادهی (تفاضلی و انتگرالی) پلیمرشدن امولسیونی وینیل استات- اتیلن را با زمان واکنش در راکتور L ۷/۵ با توجه به

جدول ۴- مقادیر دمای انتقال شیشه‌ای کوپلیمر نهایی.

آزمایش	زمان واکنش (min)	مونومر وینیل استات در کوپلیمر	درصد تبدیل در کوپلیمر	دمای انتقال شیشه‌ای (°C)
VAE1	۲۲۵	۷۷/۹	۱۹/۸	۲۰
VAE6	۲۹۰	۹۰	۱۴	۱۱

جدول ۴ نتایج مربوط به دمای انتقال شیشه‌ای نمونه‌های کوپلیمر حاصل از واکنشهای VAE1 و VAE6 را با توجه به زمان واکنش، درصد اتیلن در کوپلیمر و درصد تبدیل مونومر وینیل استات در کوپلیمر نشان می‌دهد. از آنجا که با افزایش درصد تبدیل مونومر وینیل استات میزان شاخه‌ای شدن بیشتر می‌شود، بنابراین می‌توان نتیجه گرفت که افزون بر ترکیب درصد کوپلیمر (افزایش درصد اتیلن موجب افزایش انعطاف پذیری و کاهش دمای انتقال شیشه‌ای می‌شود) ساختار زنجیر پلیمر [۱۵] روی دمای انتقال شیشه‌ای اثر دارد.

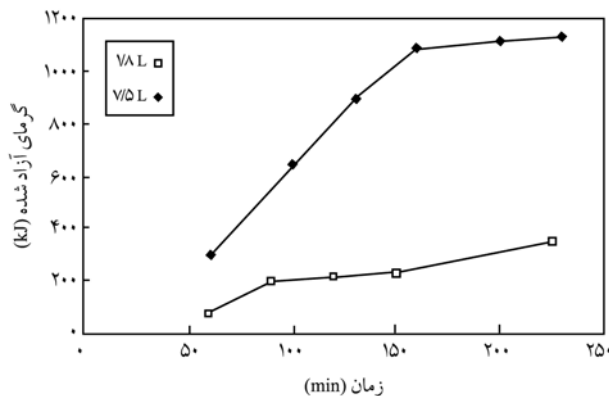
میزان گرمادهی واکنش

در بررسی گرمادهی کوپلیمرشدن امولسیونی وینیل استات- اتیلن با توجه به مقادیر متفاوت گرمای پلیمرشدن هر یک از مونومرهای اتیلن و وینیل استات، تولید گرما به درصد اتیلن در کوپلیمر و سرعت تبدیل مونومر وینیل استات وابسته است. البته این نکته حائز اهمیت است که میزان گرمادهی پلیمرشدن مونومر اتیلن بیشتر از مونومر وینیل استات است (گرمادهی وینیل استات ۸۷/۸۶ kJ/mol و اتیلن ۱۰۶/۲۷ kJ/mol).

در جدول ۵ داده‌های مربوط به تغییرات درصد تبدیل مونومر وینیل استات و درصد اتیلن در کوپلیمر و میزان گرمادهی سیستم در کوپلیمرشدن امولسیونی وینیل استات- اتیلن در یک راکتور L ۷/۸ ارائه

جدول ۵- میزان گرمادهی، درصد تبدیل وینیل استات و درصد اتیلن در کوپلیمر برای واکنش کوپلیمرشدن VAE1 در راکتور L ۷/۸.

زمان (min)	درصد اتیلن	ΔH انتگرالی (kJ)	ΔH تفاضلی (kJ)	درصد تبدیل وینیل استات
۶۰	۴/۸	۷۶/۴	۷۶/۴	۲۷/۴
۹۰	۲۱/۲	۲۰۰/۴	۱۲۴	۴۲/۷
۱۲۰	۱۴/۹	۲۱۵/۸	۱۵/۴	۵۵/۷
۱۵۰	۱۲/۱	۲۳۱/۸	۱۶	۶۵/۴
۲۲۵	۱۹/۸	۳۵۰/۸	۱۱۹	۷۷/۹



شکل ۸- مقایسه میزان گرمادهی (با مقادیر انتگرالی) در واکنش پلیمرشدن امولسیونی VAE در دو راکتور مختلف.

افزایش سرعت مشارکت گاز اتیلن در واکنش کوپلیمر شدن می‌شود. بنابراین، گرمادهی سیستم پلیمرشدن با توجه به مقدار اتیلن بیشتر می‌شود. در این حالت نیز گرمادهی انتگرالی در سیستم پلیمرشدن به شکلی است که در مقاطع اول و آخر نسبت به مقاطع میانی تغییرات گرمادهی از شیب بیشتری برخوردار است که نشان دهنده سرعت زیاد گرمادهی در این دو مرحله است.

شکل ۸ تغییرات گرمادهی انتگرالی پلیمرشدن امولسیونی وینیل استات- اتیلن را با زمان واکنش در راکتورهای ۱/۸ و ۷/۵ L با توجه به تغییرات درصد اتیلن در کوپلیمر و سرعت تبدیل مونومر وینیل استات نشان می‌دهد. همان طور که ملاحظه می‌شود در تمام نقاط سیستم پلیمرشدن، میزان گرمادهی در راکتور ۷/۵ L بیشتر از نقاط مشابه در راکتور ۱/۸ L است. علت آن است که در راکتور ۷/۵ L وزن مواد اولیه در واکنش پلیمرشدن به اندازه ۴/۲ برابر بیشتر از وزن مواد اولیه در راکتور ۱/۸ L است. بنابراین، با توجه به معادله ۴ برای کلیه نقاط مقادیر بیشتری در راکتور ۷/۵ L مشاهده می‌شود. در مقاطع مختلف واکنش شیب منحنی گرمادهی وابسته به سرعت مصرف مونومر وینیل استات و مشارکت مونومر گازی اتیلن است.

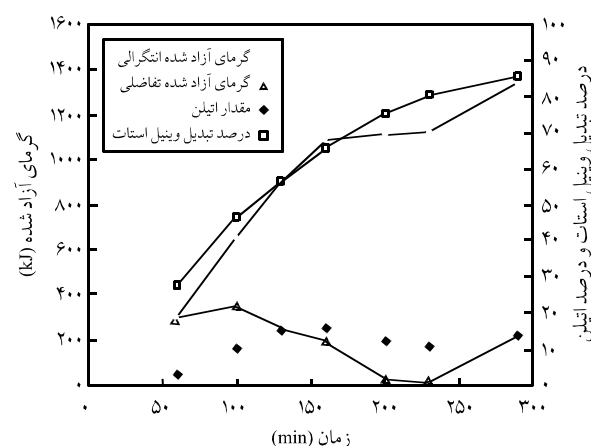
نتیجه گیری

در بررسی افزایش حجم راکتور ملاحظات مربوط به شکل راکتور و نسبت ارتفاع به قطر راکتور، دور همزن و سایر موارد مورد توجه قرار می‌گیرد. با افزایش حجم راکتور پلیمرشدن به دلیل عدم تناسب نسبت ارتفاع به قطر راکتور با مقدار مواد اولیه، مقدار سطح، انتقال جرم مونومر گازی اتیلن از سطح حد واسط اتیلن گازی با مایع لاتکس کاهش

جدول ۶- میزان گرمادهی، درصد تبدیل وینیل استات و درصد اتیلن در کوپلیمر برای واکنش کوپلیمرشدن VAE در راکتور ۷/۵ L

زمان (min)	درصد اتیلن	ΔH انتگرالی (kJ)	ΔH تفاضلی (kJ)	درصد تبدیل وینیل استات (kJ)
۶۰	۲/۵	۲۹۹/۱	۲۹۹/۱	۲۷/۲
۱۰۰	۱۰/۳	۳۵۱/۴	۶۵۰/۵	۴۶/۶
۱۳۰	۱۴/۵	۸۹۹/۲	۲۴۸/۷	۵۶/۴
۱۶۰	۱۵/۶	۱۰۸۸/۷	۱۸۹/۵	۶۶
۲۰۰	۱۲/۱	۱۱۱۳/۶۳	۲۴۹/۳	۷۵/۴
۲۳۰	۱۰/۵	۱۱۲۵/۷	۱۲/۱۴	۸۰/۲

تغییرات درصد اتیلن در کوپلیمر و سرعت تبدیل مونومر وینیل استات نشان می‌دهد. همان طور که ملاحظه می‌شود در مراحل اولیه واکنش مونومر وینیل استات به سرعت مصرف و مونومر اتیلن نیز بخوبی وارد کوپلیمر می‌شود، بنابراین گرمادهی سیستم پلیمرشدن روند افزایشی می‌یابد. در دو مقطع بعدی واکنش که مونومر وینیل استات با همان سرعت مقاطع اولیه مصرف نمی‌شود، درصد اتیلن نیز به مقدار کمتری نسبت به مقطع اول افزایش می‌یابد از این رو، مقدار گرمادهی سیستم پلیمرشدن نسبت به مقطع اول کاهش می‌یابد و در مرحله بعدی واکنش (۲۰۰-۲۳۰ min) با کاهش سرعت مصرف مونومر وینیل استات و کاهش درصد اتیلن در کوپلیمر گرمادهی در سیستم پلیمرشدن به شدت افت کرده و ثابت می‌شود. در مراحل انتهایی با کاهش سرعت مصرف مونومر وینیل استات، این امر منجر به



شکل ۷- تغییرات سینتیکی میزان گرمادهی با درصد تبدیل VA و درصد اتیلن در کوپلیمر بر حسب زمان برای واکنش پلیمرشدن امولسیونی VAE در راکتور ۷/۵ L.

L ۷/۵ دیده شد که با توجه به سرعت مصرف مونومر وینیل استات و میزان مشارکت اتیلن در واکنش کوپلیمر شدن، گرمادهی در سیستم پلیمر شدن متفاوت است. در مجموع برای هردو سیستم پلیمر شدن امولیسیونی در راکتورهای ۱/۸ و ۷/۵ L در زمانهای ۶۰ min از شروع واکنش بیشترین میزان گرمادهی مشاهده می شود که این امر در طراحی سیستم خنک کننده راکتور پلیمر شدن بسیار مهم است.

با تغییر مقیاس راکتور پلیمر شدن از ۷/۸ به ۷/۵ L وزن مواد اولیه برای واکنش به مقدار ۴/۲ برابر افزایش می یابد. بنابراین، میزان گرمادهی برای تمام نقاط در واکنش پلیمر شدن در راکتور L ۷/۵ در حدود ۴/۷-۳/۲ برابر بیشتر از مقادیر موجود در راکتور L ۱/۸ است.

قدرتانی

از شرکت تحقیق و توسعه پتروشیمی به دلیل کمکهای مالی قدردانی می شود.

می یابد. با کاهش نفوذ و درنتیجه کاهش حضور اتیلن در موضع واکنش درصد اتیلن در کوپلیمر نهایی کمتر و درصد تبدیل نهایی مونومر وینیل استات بیشتر می شود.

رونده تغییرات درصد تبدیل مونومر وینیل استات برای دو واکنش در راکتورهای ۱/۸ و ۷/۵ L تقریباً مشابه است. در راکتور L ۷/۵ درصد تبدیل مونومر وینیل استات برای نمونه نهایی در مقادیر بیشتر به مقدار ثابت می رسد.

درصد اتیلن در طول واکنش در کوپلیمر با افزایش حجم راکتور روندی کاهشی دارد که این روند در راکتور L ۱/۸ افزایشی بوده و درصد اتیلن در کوپلیمر طی واکنش تغییرات بیشتری دارد. بنابراین، کوپلیمر حاصل از واکنش در راکتور L ۷/۵ ترکیب درصد یکنواخت تری نسبت به کوپلیمر حاصل در راکتور L ۱/۸ برای نمونه های مختلف در طول واکنش خواهد داشت.

در بررسی تغییرات گرمادهی به شکل تفاضلی در راکتورهای ۷/۸ و

مراجع

- Anderson C.D. and Daniels E.S., Emulsion Polymerization and Latex Applications, *Rapra Review Reports* (Report 160), **14**, 4, 2003.
- Bakshi M.S., Sachar S., Mahajan N. and Kaur I., Mixed-micelle Formation by Strongly Interacting Surfactant Binary Mixtures: Effect of Head-group Modification, *Colloid Polym. Sci.*, **280**, 990-1000, 2002.
- Gruber B.A., Vratsanos M.S. and Smith C.D., Effect of Colloidal Stabilizer on Vinyl Acetate-ethylene Copolymer Emulsion and Films, *Macromol. Symp.*, **155**, 163-169, 2000.
- Petrocelli F.P. and Cordeiro C.F., Continuous Process for the Production of Vinyl Acetate-ethylene Emulsion Copolymers, *Macromol. Symp.*, **155**, 39-51, 2000.
- Scot P.J., Penlidis A. and Rempel G.L., Reactor Design Consideration for Gas-liquid Emulsion Polymerization: The Ethylene-vinyl Acetate Example, *Chem. Eng. Sci.*, **49**, 1573-1583, 1994.
- Scot P.J., Penlidis A., Rempel G.L. and Lawrence A.D., Ethylene-vinyl Acetate Semi-Batch Emulsion Copolymerization: Experimental Design and Preliminary Screening Experiments, *J. Polym. Sci., Polym. Chem. Ed.*, **31**, 403-426, 1993.
- Scot P.J., Penlidis A., Rempel G.L. and Lawrence A.D. Ethylene-vinyl Acetate Semi-Batch Emulsion Copolymerization: Use of Factorial Experiments for Process Optimization, *J. Polym. Sci., Polym. Chem. Ed.*, **32**, 539-555, 1994.
- Scot P.J., Penlidis A., Rempel G.L. and Lawrence A.D. Ethylene-vinyl Acetate Semi-Batch Emulsion Copolymerization: Use of Factorial Experiments for Improved Process, *J. Polym. Sci., Polym. Chem. Ed.*, **31**, 2205-2230, 1993.
- Salehi-Mobarakeh H., Rostami M.R. and Esmaeilipour B., Synthesis of vinyl Acetate-ethylene Copolymer Through Batch Emulsion Polymerization, II: Effect of Buffer and Emulsifier Concentration, *Iran. J. Polym. Sci. Technol. (in Persian)*, **16**, 231-239, 2003.
- Salehi-Mobarakeh H., Rostami M.R. and Esmaeilipour B., Synthesis of vinyl Acetate-ethylene Copolymer Through Batch Emulsion Polymerization, I: Effect of Pressure, *Iran. J. Polym. Sci. Technol. (in Persian)*, **16**, 165-173, 2003.
- Rostami M.R., *Optimization of Vinyl Acetate-ethylene Emulsion Copolymerization*, MSc Thesis, Iran Polymer and petrochemical Institute, September 2002.
- Salehi-Mobarakeh H., Rostami M.R. and Esmaeilipour B., Study of Heat Removal in Emulsion Polymerization of Vinyl Acetate-ethylene, *Proceeding of the 6 th Iranian Seminar on the Polymer Science and Technology (ISPST 2003)*, Tehran, Iran, 79, 12-15 May 2003.

13. Brandrup J., Immergut E.H. and Agrulke E., *Polymer Handbook*, 4th ed., John Wiley and Sons, Canada, 363-373, 1999.
14. Salyer I.O. and Kenyon A.S., Structure and Property Relationships in Ethylene-vinyl Acetate Copolymers, *J. Polym. Sci.*,
- Polym. Chem. Ed., **9**, 3083-3103, 1971.
15. Nielsen L.E. and Landel R.F., *Mechanical Properties of Polymer and Composites*, 2nd ed., Marcel Dekker, United States, Chap.2, 1994.

Archive of SID